

物理譯丛

高功率鐵磁共振
和鐵氣體微波放大器

李國棟 戴道生等編譯

內容簡介

高功率鐵磁共振現象和鐵氧體微波放大器的研究，在最近几年間不論在基本研究和實際應用方面都有了很大的發展，受到了廣泛的注意，形成了微波鐵氧體中的一個相當活躍的領域。

本譯文集的內容包括三部分：（一）高功率鐵磁共振；（二）鐵氧體微波放大器；（三）靜磁型鐵磁共振。主要收集了1956—1961年間發表的有關這些方面較為重要的並具有一定代表性的綜述性文章、理論和實驗方面的文章共14篇。

物理譯丛 高功率鐵磁共振 和鐵氧體微波放大器

李國棟 戴道生等編譯

*

科學出版社出版 (北京朝陽門大街117號)

北京市書刊出版業營業許可證出字第061號

中國科學院印刷廠印刷 新華書店總經售

*

1964年6月第一版 书号：2951 字数：211,000

1964年6月第一次印刷 开本：850×1168 1/32

(京)0001—4,300 印张：8

定价：[科七] 1.40元

目 录

I. 高功率鐵磁共振

- 鐵氧体在高功率微波訊号下的非線性性能…… (H. Suhl) (1)
高功率鐵磁共振的最近进展…………… (E. Schlömann, J. J. Green and U. Milano) (35)
高訊号功率下的鐵磁共振理論…………… (H. Suhl) (58)

II. 鐵氧體微波放大器

- 鐵磁微波放大器理論…………… (H. Suhl) (91)
鐵氧體振蕩器的非線性理論…………… (А. Л. Минкаэлян) (115)
变形的半靜磁型鐵氧體放大器…………… (A. D. Berk, L. Kleinman, C. E. Nelson) (132)
利用鐵氧體的固体微波放大器和振蕩器… (M. T. Weiss) (141)
变形的半靜磁型鐵氧體放大器的實驗研究…………… (W. L. Whirry, F. B. Wang) (143)
电磁型鐵氧體放大器研究的若干問題…………… (А. Л. Минкаэлян, Н. З. Шварц) (147)
使用縱激励的鐵磁放大器的理論和實驗特性…………… (R. T. Denten) (167)

III. 靜磁型鐵磁共振

- 用靜磁模作研究工具…………… (R. L. White) (182)
鐵磁共振中的靜磁場…………… (L. R. Walker) (200)
鐵氧體球中的多層鐵磁共振…………… (Robert L. White, Irvin, H. Solt, Jr.) (222)
鐵氧體中非一維運動的鐵磁共振…………… (Я. А. Монета, А. В. Вацковский) (236)

I. 高功率鐵磁共振

鐵氧化物在高功率微波訊號下 的非線性性能*

H. Suhl

在一定的微波訊號以上時，在鐵氧化物的功率吸收中表現出各種反常。觀察到這些反常的條件是與介質中某些“自旋波”擾動增長到異常高的水平的條件相一致的。這一增長是由於自旋波通過伴隨這些擾動的退磁場和交換場而與一致進動耦合所產生的。在本文第一部分中將指出：當訊號場超過臨閾值時，耦合作用會使某些自旋波的振幅隨著時間呈指數式地“激增”。最容易發生這一情況的是當共振的時候以及當直流偏磁場在共振的低場邊的適當條件下。

在本文第二部分中，對一種類型的反常吸收計算了當超過臨閾訊號時磁化強度的穩恆狀態。我們發現一致進動在相應於臨閾訊號值時達到“飽和”，再增加的外加功率都轉移到狹窄的自旋波範圍中了。計算了新狀態的磁化率。發現全部都同實驗非常符合。因為本文是綱要性的，故分析只保留到最少的地步。全面的分析將在以後發表**。

1. 引　　言

研究鐵氧化物微波器件的工程師們早已知道，一些在低訊號級工作得很好並與理論符合的器件結構，在高訊號級下却並不經常

* 譯自 *Proc. IRE*, 44, No. 10, 1270—1284 (1956)。

** 即本書中的第3篇文章。

是工作得令人满意的。从实用观点,以及从理论观点来看,这一越轨的性能最使人困恼的是,虽然讯号功率(虽已在磁控管范围中)还远远低于磁化强度运动的简单的线性理论应该开始失效的限度,但这一越轨的性能就发生了。在看来还太低的功率级下,这种非线性效应的出现并不单独限于器件的结构。在最初由 Damon^[1]、接着更广泛地由 Bloembergen 和 Wang (王适)^[2]从基本研究观点所进行的谐振腔共振实验中,也特别清楚地观察到了这一点。这些研究者观察到了两种新的效应:第一,当讯号功率增加到超过一较为尖锐的确定的临阈值时(这值仅约为根据简单理论要观察到任何显著的非线性效应所需要的讯号级的 $1/100$ 到 $1/50$)。主共振线便逐渐地显得变弱和变宽起来。第二,他们发现在相近的功率下,会出现另一个相当宽的吸收峰,这峰总是在主共振所需要的磁场以下几百奥的地方。正是这第二种效应在那些依赖铁氧体元件作为磁场控制的相移器件或调谐器件的应用中是特别麻烦的。通常,这些器件总是企图在低于共振场的方面工作,以及在高讯号级下引起的附加吸收所产生的任何额外损耗都是不受欢迎的。

在以下的讨论中,我们将略述可以满意地解释 Bloembergen 和 Wang (以后简称 B-W) 以及 Damon (以后简称 D) 所观察到的现象的相当完整的理论^[3,4]。这理论的另一些预示已在 Bell 电话实验室的 H. E. D. Scovil 博士、以及作者的尚未发表的测量中加以证实了。

进一步或许值得注意的是,这些奇异效应的基本原因是同使铁氧体在微波应用中如此有用的原因完全相同的:这就是由于交换力的缘故,电子自旋具有互相平行排列起来、并且在外加讯号场中作为单一整体进行运动的趋势,这一趋势使铁氧体器件成为有用

[1] R. W. Damon, *Rev. Mod. Phys.*, Vol. **25**, pp. 239—245; January, 1953.

[2] N. Bloembergen and S. Wang (王适), *Phys. Rev.*, Vol. **93**, pp. 72—83; January, 1954.

[3] P. W. Anderson and H. Suhl, *Phys. Rev.*, Vol. **100**, pp. 1788—1789, December, 1955.

[4] H. Suhl, *Phys. Rev.*, Vol. **101**, pp. 1437—1438; February, 1956.

或切实可行的。此外，我們还将看到，也正是这作为单一的大磁矩运动的同样趋势，当由于热騷动使运动的一致性稍微被扰乱时，便会导致很強的退磁場和交換場。由于这些局部的非均匀的退磁場和交換場与作为整体的磁化強度的运动之間的相互作用，在足够強的訊号下，会通过一致运动而使扰动能够增长到較大的值。

样品中在時間为 t 、在 \mathbf{r} 点的磁化強度矢量 $\mathbf{M}(\mathbf{r}, t)$ 的运动遵从下面形式的方程：

$$\frac{d\mathbf{M}}{dt} = -\gamma[\mathbf{M} \times \mathbf{H}] + \text{損耗項}, \quad (1)$$

其中 γ 是旋磁比的絕對值， \mathbf{H} 是在 \mathbf{r} 点時間为 t 时的总磁場。 \mathbf{H} 必須包括所有能够对 \mathbf{M} 产生轉矩的力，这不仅有外加磁場(恆定的和高頻的)，而且包括在 \mathbf{r} 点的任何退磁場，晶体各向异性場(本文在以后将略去)，以及表示当材料的 \mathbf{M} 变化足够快时相邻未平行排列的自旋的交換力所引起的場。轉矩 $\mathbf{M} \times \mathbf{H}$ 是这样的一项，即当 \mathbf{M} 一經运动起来后，这运动就将不再消滅。为了解释实际上觀察到的弛豫，就必須用一代表損耗的項补充到(1)式中去。因为这損耗的微觀机制还没有完全解决，所需要的損耗項的形式也就是一个疑問。根据經驗，一些作者采用最先由 Ландау (Landau) 和 Лифшиц (Lifshitz)^[5] 提出的形式：

$$+ \frac{\alpha}{M} \left[\mathbf{M} \times \frac{d\mathbf{M}}{dt} \right]^{[6]} \quad (2)$$

这一項用单一的參量 α 来表示損耗，并且保持了磁化強度 M 的大小不变。另一些研究者却宁愿采用 Bloch-Bloembergen 形式的損耗項^[2]，这种損耗項含有两个可調節的參量，但却不能使 M 守恆。在本文所有的討論中，我們假定局限在一充分小的体积元中的 M 是守恆的。这仍然并不迫使我們采用如(2)的形式的阻尼，因其他

[5] L. Landau and E. Lifshitz, *Physik. Zeits. Sowjetunion*, Vol. 8, p. 153, 1935.

[6] 这一形式并不完全是 Landau 和 Lifshitz 提出的真正形式，見上引文献，但同它的差別只是 α^2 的数量級。

某些更普遍的形式也可以使 M 不变。然而，我們仍将采用(2)式的形式，这仅不过是为了明确的緣故，因为在以后的計算中，以及实际上在最后的結果方面都可以作任何所期望的推广。

通常对鐵氧体作共振实验都是仔細地安排得使 \mathbf{M} 与位置无关。把椭球(通常是圓球)形状的单晶样品放在尽可能均匀的恒定磁场和射频磁场中。在这一情形下，退磁场和晶体各向异性場也是均匀的，因为磁化強度是以单一体作一致进动，不会产生交換轉矩。于是，(1)式具有熟知的小訊号解：如果沿着椭球的一个主軸(譬如說， Z 軸)加上恒定磁场 H_0 ，又假設射頻場是在 $x-y$ 平面內的圓偏振波，其分量为 $(h \cos \omega t, h \sin \omega t, 0)$ 則可把解很便利地总结为下面的形式：

$$M_x + jM_y = \frac{Myhe^{j\omega t}}{\omega_{共振} - \omega + j\gamma\Delta H}; \quad j = \sqrt{-1}. \quad (3)$$

这里 $\Delta H = \alpha\omega/\gamma$ 是表示为其等效場 ΔH 的頻率綫寬， $\omega_{共振}$ 是 Kittel 頻率。如果略去各向异性，则

$$\omega_{共振}^2 = \gamma^2 [H_0 - 4\pi(N_z - N_x)M][H_0 - 4\pi(N_z - N_y)M]. \quad (4)$$

式中 N_x, N_y, N_z 是沿 x, y, z 的退磁因子，并規定 $N_x + N_y + N_z = 1$ 。方程式(3)是当假設 H_0 足够地大使得 \mathbf{M} 沿着 z 軸排列起来时从(1)式推导出的，因此在沒有訊号时， $M_z = M^{[7]}$ 。訊号感生小的 M 的 x 和 y 分量，这些分量的平方和乘积在推导(3)式时是略去了的。采用下面的对比变数：

$$\begin{aligned} \omega_s &= \gamma h; \quad \omega_H = \gamma H_0; \quad \omega_M = 4\pi\gamma M; \quad \mathbf{m} = \mathbf{M}/M \\ m^+ &= m_x + jm_y; \quad m^- = (m^+)^* = m_x - jm_y, \end{aligned} \quad (4a)$$

是很方便的。把这些变数代进去，(3)和(4)式变为

$$m^+ = \frac{\omega_s e^{j\omega t}}{\omega_{共振} - \omega + j\alpha\omega} = m_0^+ e^{j\omega t}, \quad (5)$$

[7] 方程式(3)只对于沿 OZ 的旋轉椭球才是严格正确的。不过在一些不包括旋轉椭球的个别情况下，我們将仍采用这一公式。引起的誤差是在 m_x 或 m_y 中为因子 $\sqrt{2}$ 的数量級。

$$\omega_{\text{共振}} = [\omega_H - (N_z - N_x)\omega_M][\omega_H - (N_z - N_y)\omega_M]. \quad (6)$$

通常实验的目的之一便是求线宽 ΔH , 它是靠测量磁化率的虚数部分

$$\chi'' = \frac{\gamma M \gamma \Delta H}{(\omega - \omega_{\text{共振}})^2 + \gamma^2 \Delta H^2} = \frac{\frac{1}{4\pi} \omega_M(\alpha\omega)}{(\omega - \omega_{\text{共振}})^2 + \alpha^2 \omega^2} \quad (7)$$

来决定的。自然，在线性理论的范围内， χ'' 是与讯号无关的。

在圆球的情形下，除去对 m^+ 的大小的一切限制，便可非常容易地求出(1)式的大讯号解来。这样的解预示在共振情形下，一直到讯号场变到 ΔH 的数量级时， χ'' 都将基本上保持(7)式给出的与讯号无关的值 $M/\Delta H$ 。这以后 χ'' 将随着讯号功率的增加而逐渐地下降，这条件称为“饱和”。

另一方面，实验工作者们发现，讯号功率仅相当于 ΔH 奥的射频场的 $1/100$ 到 $1/50$ 时， χ'' 就开始降低了。这一差异显然超过实验误差，它的起源的一个线索是来自垂直磁化的薄片的大讯号性能，而不是圆球的大讯号性能。

在对其本身平面作垂直磁化的非常薄的圆片情形下，小讯号理论得出(因为 $N_x = N_y = 0, N_z = 1$)：

$$\omega_{\text{共振}} = \gamma(H_0 - 4\pi M) = \omega_H - \omega_M.$$

当讯号相当大时，(3)式虽是由小讯号理论推导出来的，只要我们用

$$\omega'_{\text{共振}} = \gamma(H_0 - 4\pi M_z) = \omega_H - \omega_M m_z$$

代替(3)或(5)式分母中的 $\omega_{\text{共振}}$ ，这公式仍然是近似地正确的。由(5)式，我们于是得到

$$\begin{aligned} m_z &= \sqrt{1 - |m^+|^2} \doteq 1 - \frac{1}{2}|m^+|^2 \\ &= 1 - \frac{\frac{1}{2}\omega_s^2}{[\omega - (\omega_H - \omega_M m_z)]^2 + \alpha^2 \omega^2}. \end{aligned} \quad (7a)^*$$

* 原文作(7)，由于与前面的序号重复，改作(7a)——译者注。

这方程式可以对 m_z 求解, m_z 和 χ'' 一样都能很好地测量应度。可是不必真正解出就可看到这种应度的一个重要的特点: 假設把 ω_H 調节到稍低于共振位置的值 $\omega + \omega_M m_z$, 并假設由于某种偶然因素使进动角张开到稍稍超过它的恰当的大小。这就引起 m_z 的略为減小, 因此使 $\omega_H - \omega_M m_z$ 略为增加。(7a) 式中分母便趋近它的最小值, 因而更使 m_z 減小。如果 m_z 的新增量超过原来的增量, 就会产生“激变”的条件, 这时进动角无限地增大, 直到建立某一新的稳恒状态为止。从数学上說來, 将(7a)式右边对 M_z 微分便簡單地得到“激变”的条件。实际上, 微分系数为 $(\delta M_z)_{\text{新}} / (\delta M_z)_{\text{旧}}$, 如果要随着产生不稳定, 这一系数必須大于 1。于是可見 ω_s 必須超过一定的临閾值; 当直流磁场低于共振場的大小为綫寬的数量級时, 这一临閾值为最小, 这样得到

$$\omega_{\text{临界}} = \alpha \omega \sqrt{\frac{3.08 \alpha \omega}{\omega_M}},$$

或者換为磁場值, 得到

$$h_{\text{临界}} = \Delta H \sqrt{\frac{3.08 \Delta H}{4\pi M}}. \quad (8)$$

这一結果也可从对 M_z 解(7a)式推导出来, 并繪出解与 H 的关系(如图 1 所示)。当 h 超过 $h_{\text{临界}}$ 时, 会发现小訊号的应度曲綫产生这样的畸变, 即在低于共振場的一定范围内 M_z 是 H_0 的三重值函数。在这三个可能状态中有两个可預期到不稳定性。当然, ΔH 实际上是小于 $4\pi M$ 的。因此,(8)式表明不稳定性可以在訊号功率远低于使球饱和所需要的临閾值时发生。

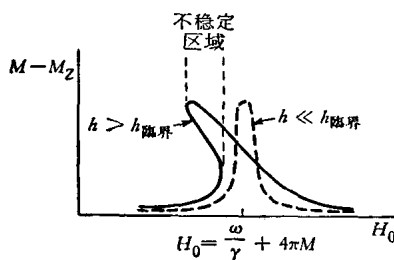


图 1. 一法向磁化的薄圓片由于共振頻率对振幅的相依关系引起的非諧應度。在临閾訊号以上时, 应度曲綫有迭折, 这就导致一段使通常运动变为不稳定的直流磁场区域。

对于 B. W. -D. 實驗的条件說来, (8)式实际上就是觀察到产生早熟飽和的訊号場的数量級。如

果这些觀測与刚才討論过的不稳定性有关，就发生問題了。因为，大多数的实验并不是对圓片进行的，而是对圓球作的，圓球不会象圓片那样显示不稳定性。由磁晶各向异性引起的非綫性項也可导致象在圓片中表現的非常相似的情况，但在各向异性場正好低于 $4\pi M$ 时，临闕場要比(8)式大很多，虽然它也可以仍旧小于 ΔH 。还有一种可能性：假設圓球中磁化強度的一致进动不是在整个球中均匀地受扰动，而只是在垂直于直流磁場的薄片状层中受扰动。这一扰动伴随着一局部的退磁場，問題是这薄层是否会象实际的圓片那样达到不稳定。除非这薄层是这样地薄，以致它同其余的磁化強度間的交換效应起作用，回答就将是否定的。粗略地說来，其理由是这薄层不是处于恆定磁場 H_0 中，而是处于出現在圓球内部受过退磁的直流磁場 $H_0 - \frac{4\pi}{3} M$ 中。我們对实际的圓片

的經驗表明，这种不稳定性是局限在其共振場 $(\frac{\omega}{\gamma}) + \frac{4\pi}{3} M$ 附近的直流場中。因此，根据类似的理由，如果薄层中的偏离达到不稳定的話，它就会在 $\frac{\omega}{\gamma} + \frac{4\pi}{3} M$ 的磁場附近发生，然而实际上早熟飽和的产生却是在作为整体的圓球的共振場，即是在 $\frac{\omega}{\gamma}$ 观察到的。

不过，在下一节中将要指出，由于热騷动的缘故，在圓球中經常是有一定的扰动出現的，它又受到交換場的作用，交換場正好抵消扰动的共振頻率中的 $\frac{4\pi}{3} M$ 項，这样就可产生不稳定性。

2. 主共振飽和的早熟开始

为了简单起見，可認為沿总磁化強度 \mathbf{M} 的单位矢量 \mathbf{m}_s 在其由(5)式决定的“正常”值时受到扰动，这一扰动不是仅在垂直于 H_0 的薄层中，而是在整个样品內，扰动量 $\delta\mathbf{m}$ 为常数的面为垂直于 H_0 的平面。我們的目的是利用运动方程式(1)写出总的归一化的磁化強度 $\mathbf{m} + \delta\mathbf{m}$ 的运动方程式。 \mathbf{m} 为样品中的空間平均值，

而 $\delta\mathbf{m}(\mathbf{r})$ 为对这平均值的局部偏离。因为

$$m_{z\text{总}} = \sqrt{1 - (m_x^2 + m_y^2)_{\text{总}}},$$

(1)式中的 z 分量便是多余的了。而且，饱和的开始是在有理由写出

$$(m_z)_{\text{总}} = 1 - \frac{1}{2}(m_x^2 + m_y^2)_{\text{总}} = 1 - \frac{1}{2}(m^+m^-)_{\text{总}}$$

的讯号范围内观察到的，因此

$$\delta m_z = -\frac{1}{2}(m^+\delta m^- + m^-\delta m^+).$$

这样，我们可只限于讨论(1)式中的 x 和 y 分量，现在必须决定作用在 $\mathbf{m} + \delta\mathbf{m}$ 上的有效场。令样品的形状为绕 H_0 的旋转椭球，样品上的有效直流场为 $(0, 0, H_0 - 4\pi\bar{M}_z N_z)$ ，其中 \bar{M}_z 是空间平均值。同样地，有效交变场为 $(h \cos \omega t - 4\pi\bar{M}_x N_t, h \sin \omega t - 4\pi\bar{M}_y N_t, 0)$ ^[8]。由偏离 $\delta\mathbf{m}$ 引起的局部退磁场为

$$(0, 0, -4\pi M \delta m_z),$$

这是假设 δm 的空间变化足够快，以致可以略去在等 δm 平面“端部”的磁极所引起的退磁场。最后，交换效应也将对有效场有贡献。如果 $\delta\mathbf{m}$ 在样品中的变化率比点阵间隔的倒数还慢的话，这一磁场可写作下面的形式^[9]：

$$H_{\text{交换}} \frac{l^2 \nabla^2 \mathbf{M}}{M} = H_{\text{交换}} l^2 \nabla^2 (\mathbf{m} + \delta\mathbf{m}) \\ = H_{\text{交换}} l^2 \nabla^2 \delta\mathbf{m}.$$

其中 l 是点阵间隔， $H_{\text{交换}}$ 是有效的“交换场”，它包含交换积分 J 和离子自旋 S ，在简单立方晶格的情形下可写作：

$$H_{\text{交换}} = \frac{4JS^2}{Ml^3}.$$

∇^2 是 Laplace 算符，在目前情况下，这算符简化为 $\frac{\partial^2}{\partial z^2}$ 。我们也可以定义交换频率为

[8] 这里 $N_x = N_y = N_t$ 。

[9] C. Herring and C. Kittel, *Phys. Rev.*, Vol. 81, pp. 869—881; March, 1951.

$$\omega_{\text{交換}} = \gamma H_{\text{交換。}}$$

在写出运动方程时,用 i 乘(1)式的 y 分量方程再加到 x 分量方程上是很方便的。注意 $\bar{M}_x = Mm_x$, 等等, 利用(4a)式中的对比符号, 并结合刚才列举的几种磁场, 对 δm 的一级小量来说, 我们求得:

$$\begin{aligned} (1 - j\alpha)(\dot{m}^+ + \delta\dot{m}^+) &= \\ &= j(\omega_H - N_z\omega_M m_z - \omega_{\text{交換}} m_z l^2 \nabla^2)(m^+ + \delta m^+) \\ &\quad + j(m_z + \delta m_z)N_T \omega_M m^+ - j\omega_M m^+ \delta m_z \\ &\quad - j\omega_z e^{j\omega t} + jm^+ \omega_{\text{交換}} l^2 \nabla^2 \delta m_z. \end{aligned} \quad (9)$$

这里所有含有讯号和损耗参数的非线性项都略去了。

现在, 让我们令 δm^+ 为驻波自旋波的形式^[10]:

$$\delta m^+ \sim \cos kz.$$

于是, 如果在(9)式中我们令随空间变化的项相等, 则因 $\delta m_z = -\frac{1}{2}(m^+ \delta m^- + m^- \delta m^+)$ 也按 $\cos kz$ 变化, 我们求得:

$$\begin{aligned} (1 - j\alpha)\delta\dot{m}^+ &= j(\omega_H - N_z\omega_M m_z + \omega_{\text{交換}} l^2 m_z k^2) \delta m^+ \\ &\quad - jm^+(\omega_{\text{交換}} l^2 k^2 + \omega_M - N_T \omega_M) \delta m_z \end{aligned}$$

或

$$\begin{aligned} (1 - j\alpha)\delta\dot{m}^+ &= j(\omega_H - N_z\omega_M m_z + \omega_{\text{交換}} l^2 m_z k^2) \delta m^+ \\ &\quad + \frac{j}{2}(\omega_{\text{交換}} l^2 k^2 + \omega_M - N_T \omega_M) \\ &\quad \cdot [|m^+|^2 \delta m^+ + (m^+)^2 \delta m^-]. \end{aligned} \quad (10)$$

方程式(10)表明 δm^+ 好象一个有阻尼的简谐振子, 它与一相似的振子 δm^- 相耦合, 并经过(10)式右边第二项与一致进动相耦合。略去由按 $|m^+|^2 \delta m^+$ 变化的项所引起的小的频率改变, 振子 δm^+ 的自然频率为:

$$\omega_k = \omega_H - N_z\omega_M m_z + \omega_{\text{交換}} l^2 k^2 m_z.$$

在没有耦合项和损耗时, δm^+ 和 δm^- 分别按 $e^{j\omega_k t}$, $e^{-j\omega_k t}$ 变化, 并且它们的振幅将为常数。耦合项将使这些振幅改变。用不着进一步分析, 我们就可以说, 如果耦合项的时间变化接近 δm^+ 的自然

[10] 利用驻波要比利用行波使分析简化。一般是把磁化强度展开成自旋波的 Fourier 级数, 但并不限制在这一方面。不过, 结果是相同的。

頻率 ω_k , 則這一變化是很重要的, 甚至數量上可按指數式地增加。現在, $(m^+)^2 \delta m^-$ 的時間變化為 $e^{i(2\omega - \omega_k)t}$, 而另一耦合項僅不過使 δm^+ 稍為解諧, 因而可以略去。所以當 $\omega_k \doteq 2\omega - \omega_k$, 卽當

$$\omega_k \doteq \omega$$

時, δm^+ 的振幅會有顯著的變化。

但單獨只有這一條件是不充分的; 我們還需要耦合項大到足夠克服由於(10)式中 α 引起的指數式的衰減, 除了接近共振 ($\omega = \omega_{共振} = \omega_H - N_z \omega_M + N_T \omega_M$) 以外, 耦合項是完全可以略去的。這樣, 我們就要求:

$$\omega_k = \omega_H - N_z \omega_M + N_T \omega_M.$$

用 m_z 的近似值 1 來代替 m_z , 這就要求:

$$\omega_{ex} l^2 k^2 \doteq N_T \omega_M. \quad (11)$$

令(10)式中

$$\begin{aligned} \delta m^+ &= \delta m_0^+ e^{i\omega_k t - \alpha \omega k t}; \quad \delta m^- = \delta m_0^- e^{-i\omega_k t - \alpha \omega k t}, \\ m^+ &= m_0^+ e^{i\omega t}, \end{aligned}$$

並讓 δm_0^+ , δm_0^- 隨時間變化, 我們求出:

$$\delta \dot{m}_0^+ = \frac{j}{2} (\omega_{ex} l^2 k^2 + \omega_M - N_T \omega_M) (m_0^+)^2 \delta m_0^- e^{2j(\omega - \omega_k)t},$$

數量級為 α^2 的項已經略去。只有在右边項的指數中 k 的恰當值才是臨界的, 我們可以把(11)式代入系數中, 好象它恰是正確的。於是

$$\delta \dot{m}_0 = j \frac{\omega_M}{2} (m_0^+)^2 \delta m_0^- e^{2j(\omega - \omega_k)t}. \quad (12)$$

最後, 如果

$$\delta m_0^+ = y e^{i(\omega - \omega_k)t} \quad \delta m_0^- = y^* e^{-i(\omega - \omega_k)t},$$

我們便得到:

$$\dot{y} + j(\omega - \omega_k)y = j \frac{\omega_M}{2} y^* (m_0^+)^2.$$

從上式和復共軛方程消去 y^* , 我們得出:

$$\left(\frac{d^2}{dt^2} + (\omega - \omega_k)^2 - \frac{\omega_M^2}{4} |m_0^+|^4 \right) y = 0.$$

如果 $R^2 = \left(\frac{\omega_M^2}{4}\right) |m_0^+|^4 - (\omega - \omega_k)^2 > 0$, 則这方程式的一个解将随时间按指数式地增加。但这单独是不充分的。如果相应的 δm^+ 也要按指数式地增加, 則 R 必須超过 $\alpha\omega_k$ 。这就要求:

$$|m_0^+|^2 > \frac{2}{\omega_M} \sqrt{(\omega - \omega_k)^2 + \alpha^2\omega_k^2},$$

上式确定了 $|m^+|^2$ 不稳定的临界值。因为 $\alpha\omega_k$ 随 k 的变化是缓慢的, 当 k 为 $\omega_k = \omega$ 时, 临界值为最小, 并且为 $\frac{2\alpha\omega_k}{\omega_M}$ 。因为 $|m_0^+|^2 = \omega_s^2 / [(\omega - \omega_{共振})^2 + \alpha^2\omega^2]$, 临界讯号为:

$$\sqrt{\frac{2\alpha\omega_k}{\omega_M} [(\omega - \omega_{共振})^2 + \alpha^2\omega^2]}.$$

当 $\omega_{共振} = \omega$ (在共振)时, 上式又为最小, 并且为

$$\omega_s_{临界} = \alpha\omega \sqrt{\frac{2\alpha\omega_k}{\omega_M}},$$

或者, 换为磁场:

$$h_{临界} = \Delta H \sqrt{\frac{2\Delta H_k}{(4\pi M)}}, \quad (13)$$

其中 $\Delta H_k = \frac{\alpha\omega_k}{\gamma}$ 是波数 k 由(11)式决定的自旋波的“线宽”。在这里我們可以放弃高度特殊化了的 Ландау-Лифшиц 项 (因它使自旋波的损耗参数具有 $\alpha\omega_k$ 的特殊形式), 而宁愿用更普遍的形式, 即

用 λ_k 代替 $\alpha\omega_k$,

但仍然是 k 的未知函数。临界场的测量可最后用来决定作为波数函数的 λ_k , 然而为了同现有的实验相比较, 我們还是不得不推測 λ_k 或 $\Delta H_k = \frac{\lambda_k}{\gamma}$ 。表 I 中是 B. W.-D. 的饱和开始的数据 同(13)式的临界讯号相比较, 这时假設 $\Delta H_k = \Delta H$, 并且这两个量都等于 $\frac{1}{\gamma T_1}$ 。这里 T_1 不是从吸收线的轮廓决定的弛豫时间, 而是从对于观测到的 \bar{M}_z 的改变同真正消耗的功率作图所决定的弛豫时间

表 I*

$\Delta H = \frac{1}{\lambda T_1}$ (奥)	射 頻 临 闕 場 (奥)		
	理 論	实 驗	
		Bloembergen 和 Wang	Damon “第 7 号样品”
51	8.0	9.0	
46	7.0	5.5	
36	5.0	4.0	
23	2.5	1.0	≈ 2.0
7	0.45	0.55	

* 对于主共振计算和测量的临阈讯号(当其区别于次共振时). 为了确定起见, 假设 $\Delta H_k = \Delta H = \frac{1}{\gamma T_1}$. 因为理论假定为圆偏振讯号, 而测量为线偏振, 理论同实验真正说来符合得并不很好. 结果的不一致可能是由于 ΔH_k , ΔH 的不确定.

($\delta \bar{M}_z$ 必须与消耗的功率成比例, 比例因数与 T_1 有关). 采取这一种选择 ΔH 的方法是因为材料中有较大的不均匀性使共振线的轮廓变得复杂起来. 符合看来是较好的. 然而, 上述的临阈值是相对于圆偏振讯号的, 而测量用的讯号却是线偏振. 所得到的因子为 2 的差别可能是由于我们忽略了关于 ΔH_k 的正确的数值. 或者一部分是由于在测量准确的临阈场时的不确定性.

对于一无限薄的、垂直磁化的圆片来说, $N_T = 0$, 因而由(11)式得出 $k = 0$. 因此, 这样的圆片整个都达到不稳定状态, 这是同我们初步的观测相一致的. 然而, (13)式的临阈值同原先计算的(8)式的临阈值相差一数值因子 $\sqrt{\frac{2}{3.08}}$. 原因是在(10)式中略去了“解谐”项 $\sim |m^+|^2 \delta m^+$. 如果 $N_T \neq 0$, 因此 $k \neq 0$, 则这一解谐可用略为调节 k 来消除. 当 $N_T = 0$ 时, 不再可能作这一调节, 因而不能略去解谐. 的确, 分析表明这相应于数值因子的改变, 也相应于(8)式中的最小临阈值是在刚低于共振时应用, 而不是象其他几何形状那样恰在共振时应用. 当然, 这一点纯粹是学院式的; 对于所有实际的几何形状说来, (13)式的临阈值都是正确

的，因为(11)式經常得出的波长 $\frac{2\pi}{k}$ 都大大地小于实际样品的尺寸。 (对于圓球样品來說， $\frac{2\pi}{k}$ 的数量級約为 30 个点陣間隔。)

3. 簡并的自旋波頻譜

我們曾經发现波数为 k 的 z 方向的小振幅自旋波具有下面的自然頻率：

$$\omega_k = \omega_H - N_z \omega_M + \omega_{\text{交換}} l^2 k^2. \quad (14)$$

熟悉自旋波理論的讀者会注意到(14)式同 ω_k 的一般公式不相同， z 方向的自旋波的 ω_k 的一般公式为^[9]：

$$\omega_k = \omega_H + \omega_{\text{交換}} l^2 k^2. \quad (15)$$

然而，考察文献就会表明(15)式是对无限介质推导出来的。(14)式中額外的一項 $-N_z \omega_M$ ，简单地說來，是由于自旋波并不简单地在直流磁场 H_0 中运动，而是在由平均磁化强度在表面上的磁极分布所減小的磁场 $H_0 - 4\pi N_z M$ 中运动。(14)式含有一个很重要的、我們已在前节中用过的关系：一致进动的自然頻率 $\omega_H - (N_z - N_T) \omega_M$ 經常是与波数由(11)式給出的 z 方向的自旋波的自然頻率 ω_k 同步的。这意味着能量从一致进动轉移到(11)式的自旋波是容易的，它給出了适当的耦合机制。在前一节中，耦合项来源于总 \mathbf{M} 运动的显著的非綫性，它随着訊号的增加而增大，直到它发生“剧烈的突变”。在临閾值以下，虽也有能量的轉移，但这只对一致进动的損耗参数有一很小的与訊号有关的貢献。然而，其他的耦合效应，例如在反尖晶石結構中所固有的混乱的不規則性，也能够把一致进动同問題中的自旋波耦合起来，而引起与訊号无关(仅間接地与溫度有关)的綫寬^[11]。的确，与一致进动簡并的不仅是 z 方向的自旋波。把(14)式推广到波矢量 \mathbf{k} 与 z 方向成 θ 角的自旋波为(参閱图 2)

[11] A. M. Clogston, H. Suhl, L. R. Walker and P. W. Anderson, *Phys. Rev.*, Vol. 101, pp. 903—904; 1956.

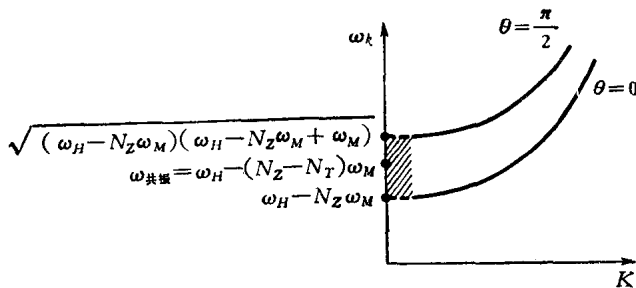


图2. 自旋波频谱。通常共振频率总是同许多波长和传播方向的自旋波简并化的，但无限薄的、垂直磁化的圆片是例外。在斜线区域，自旋波不再是系统的严格正确的模。

$$\omega_k^2 = (\omega_H - N_z \omega_M + \omega_{\text{交换}} l^2 k^2)(\omega_M - N_z \omega_M + \omega_{\text{交换}} l^2 k^2 + \omega_M \sin^2 \theta). \quad (16)$$

因此，等式

$$\omega_{\text{共振}} = \omega_k$$

对 \mathbf{k} 空间的整个旋转面都是正确的，在计算由不规则性引起的线宽时，从一致进动移出的能量分布在全部简并簇中^[12]。由此可假设损耗的产生是由于同其他自旋波的相互作用，或者在较小程度上，是由于同晶格的直接的相互作用。类似地也发生了这样的问题：沿 OZ 轴以外的方向的简并自旋波是否也能达到不稳定状态？或许还在比(13)式还低的临界讯号下呢？然而，可指出的是在共振时， z 方向的自旋波的确具有最低的临界值，还表明（参阅第 VI 节）甚至在超过临界讯号时，也只有接近 z 方向的自旋波才起显著的作用。

最后，我们必须注意以前所忽略了的困难。我们是预先假设样品中的自由扰动有着自旋波的形式。但这并不是严格正确的。不管损耗、交换场和与一致进动的任何耦合，在线性近似下，真正的“自然模”是解(1)式的线性形式

$$\delta \dot{\mathbf{M}} = -\gamma \{(H_0 - 4\pi N_z M)[\delta \mathbf{M} \times \mathbf{i}_z] - M[\mathbf{i}_z \times \mathbf{h}_d]\} \quad (17)$$

[12] 垂直磁化的无限薄的圆片情形是一个例外。它的共振频率 $\omega_H - \omega_M$ 位于自旋波频谱的最低点 ($k = 0, \theta = 0$)。简并簇于是缩为一点。